

наукова конференція молодих математиків України. Тези доповіді. КМУ, 1970.

3. Чартынович Т. Л., Нищеко И.А. К решению плоской задачи термоупругости для двухсвязных областей. - "Прикладная механика", Г. УД, вып. 7, 1972.

4. Мусхелишвили Н.И. Некоторые основные задачи математической теории упругости. М., "Наука", 1966.

5. Савин Г.И. Распределение напряжений около отверстий. Киев, "Наукова думка", 1968.

УДС 539.2

В.В.БОЖИДАРНИК

НАПРУЖЕНИЙ СТАН АНІЗОТРОПНОЇ ПЛАСТИНКИ З НЕСИМЕТРИЧНО ПІДКРІПЛЕНИМ КОЛОВИМ ОТВОРОМ

Розглянемо пружну рівновагу анізотропної пластинки товщиню $2h$ з коловим отвором L_1 , радіуса r_1 , край якого несиметрично підкріплений пружним кільцем сталого перерізу. Площа на осі стержня змінена від серединної площини пластинки на величину ξ_0^* . Підкріплючий стержень вільний від навантаження. Напруження і згинальні моменти в пластинці на нескінченості обмежені

$$\bar{\sigma}_x^\infty = 0, \quad \bar{\sigma}_y^\infty = q, \quad \bar{\tau}_{xy}^\infty = r; \quad M_x^\infty = M_1, \quad M_y^\infty = M_2, \quad H_{xy}^\infty = M_{12}$$

Область, зайняту пластинкою, і відповідні їй області зміни $\xi_j = x + S_j y$, $\xi_j^* = x + M_j y$ конформно відобразимо на зовнішність однічного кола γ , прийнявши

$$z = \omega(\xi), \quad z_j \rightarrow \omega_j(\xi_j), \quad z_j^* \rightarrow \omega_j^*(\xi_j^*), \quad (1)$$

причому для контурних точок γ , змінні ξ , ξ_j , ξ_j^* набувають одного і того ж значення $\vartheta = e^{i\theta}$.

У перетвореній області (1) граничні умови задачі (8) статті [3] при відсутності навантаження на кільце наберуть вигляду (зовнішній контур області L_2 (ξ_2) віддалений у нескінченості) ($r_1 > r_0$)

$$\int_{\gamma_1} \overline{F_1(\sigma)} dU = -\frac{g}{2h} \int_{\gamma_1} \left[(r_0 - r_1) e_0 + i \frac{\partial_r r_1 \sigma}{|\omega'(\sigma)|} \frac{d\theta_\theta}{d\sigma} \right] d \left[\frac{\overline{F_1'(\sigma)}}{\overline{\omega'(\sigma)}} \right] - \\ - \frac{g}{2h} \int_{\gamma_1} e_0 \frac{\omega'(\sigma) \sigma}{|\omega'(\sigma)|} \overline{F_1'(\sigma)} d\bar{\sigma};$$

$$\int_{\gamma_1} F_1(\sigma) dU = \frac{g}{2h} \int_{\gamma_1} \left[(r_0 - r_1) e_0 + i \frac{\partial_r r_1 \sigma}{|\omega'(\sigma)|} \frac{d\theta_\theta}{d\sigma} \right] d \left[\frac{G^2 \overline{F_1'(\sigma)}}{\overline{\omega'(\sigma)}} \right] - \\ - \frac{g}{2h} \int_{\gamma_1} e_0 \frac{\omega'(\sigma) \sigma}{|\omega'(\sigma)|} F_1'(\sigma) d\sigma;$$

$$\int_{\gamma_1} \overline{F_1(\sigma)} dV = \int_{\gamma_1} \left[\frac{r_0}{r_1} e_0 + i \frac{(r_1 - r_0) \sigma}{|\omega'(\sigma)|} \frac{d\theta_\theta}{d\sigma} + i \theta_\theta - \xi_0^* \left(\frac{i\sigma}{|\omega'(\sigma)|} \frac{d\theta_n}{d\sigma} - \frac{1}{r_1} \theta_\tau \right) \right] \overline{F_1(\sigma)} \omega'(\sigma) d\sigma,$$

$$\int_{\gamma_1} F_1(\sigma) dV = \int_{\gamma_1} \left[\frac{r_0}{r_1} e_0 + i \frac{(r_1 - r_0) \sigma}{|\omega'(\sigma)|} \frac{d\theta_\theta}{d\sigma} + i \theta_\theta - \xi_0^* \left(\frac{i\sigma}{|\omega'(\sigma)|} \frac{d\theta_n}{d\sigma} - \frac{1}{r_1} \theta_\tau \right) \right] F_1(\sigma) \omega'(\sigma) d\sigma,$$

$$\int_{\gamma_1} \overline{F_1(\sigma)} dV^* = \int_{\gamma_1} \frac{r_1}{r_0} \left[\frac{C}{\omega'(\sigma)} \frac{d\theta_\tau}{d\bar{\sigma}} - i \frac{A}{\omega'(\sigma)} \frac{d\theta_n}{d\bar{\sigma}} + \frac{i\sigma \omega'(\sigma)}{r_1 |\omega'(\sigma)|} (C \theta_n + i A \theta_\tau) \right] \times \\ \times \overline{F_1'(\sigma)} d\bar{\sigma} - \xi_0^* g \int_{\gamma_1} e_0 \frac{\omega'(\sigma) \sigma}{|\omega'(\sigma)|} \overline{F_1'(\sigma)} d\bar{\sigma} - \xi_0^* g \int_{\gamma_1} \left[(r_0 - r_1) e_0 + i \frac{\partial_r r_1 \sigma}{|\omega'(\sigma)|} \frac{d\theta_\theta}{d\sigma} \right] d \left[\frac{\overline{F_1'(\sigma)}}{\overline{\omega'(\sigma)}} \right];$$

$$\int_{\gamma_1} F_1(\sigma) dV^* = - \int_{\gamma_1} \frac{r_1}{r_0} \left[\frac{C}{\omega'(\sigma)} \frac{d\theta_\tau}{d\bar{\sigma}} - i \frac{A}{\omega'(\sigma)} \frac{d\theta_n}{d\bar{\sigma}} + \frac{i\sigma \omega'(\sigma)}{r_1 |\omega'(\sigma)|} (C \theta_n + i A \theta_\tau) \right] \times \quad (2) \\ \times \overline{F_1'(\sigma)} d\bar{\sigma} - \xi_0^* g \int_{\gamma_1} e_0 \frac{\omega'(\sigma) \sigma}{|\omega'(\sigma)|} F_1'(\sigma) d\sigma + \xi_0^* g \int_{\gamma_1} \left[(r_0 - r_1) e_0 + i \frac{\partial_r r_1 \sigma}{|\omega'(\sigma)|} \frac{d\theta_\theta}{d\sigma} \right] d \left[\frac{\overline{\sigma^2 F_1'(\sigma)}}{\overline{\omega'(\sigma)}} \right];$$

$$\int_{\gamma_1} \overline{F_1(\zeta)} dU^* = \int \frac{\sigma \omega'(\sigma)}{|\omega'(\sigma)|} \left[\theta_T - i \left(\frac{r_0}{r_1} \theta_n - i \frac{(r_1 - r_0)\sigma}{|\omega'(\sigma)|} \frac{d\theta_T}{d\sigma} \right) \right] \overline{F_1'(\sigma)} d\sigma,$$

$$\int_{\gamma_1} F_1(\zeta) dU^* = \int \frac{\sigma \cdot \omega'(\sigma)}{|\omega'(\sigma)|} \left[\theta_T - i \left(\frac{r_0}{r_1} \theta_n - i \frac{(r_1 - r_0)\sigma}{|\omega'(\sigma)|} \frac{d\theta_T}{d\sigma} \right) \right] F_1'(\sigma) d\sigma.$$

Тут $\sigma = e^{i\theta}$ – афікс точки контура γ_1 ; $F_1(\zeta) = F[\omega(\zeta)]$ – до функція, голоморфна в перетвореній області; $g = E^* F_1$, $A \in C$ – стискості криволінійного стержня на розтяг, згин і кручення; r_1 – радіус кривини крайнього волокна стержня, спаяного з пластинкою; r_0 – радіус кривини нейтрального (для чистого згину) волокна стержня L_0 , яке ребуває на відстані Q_C від центральної осі; θ_0 – відносне видовження волокна L_0 ; $\theta_n, \theta_T, \theta_B$ – кути повороту поперечного перерізу стержня. У випадку пластинки з коловим отвором радіуса r_1 функції $\omega(\zeta)$, $\omega_j(\zeta)$, $\omega_j^*(\zeta)$ мають вигляд

$$\begin{aligned} \omega(\zeta) &= r_1 \zeta, \quad t = r_1 \sigma, \\ \omega_j(\zeta_j) &= \frac{r_1}{2} \left[(1 - iS_j) \zeta_j + (1 + iS_j) \frac{1}{\zeta_j} \right], \\ \omega_j^*(\zeta_j^*) &= \frac{r_1}{2} \left[(1 - i\mu_j) \zeta_j^* + (1 + i\mu_j) \frac{1}{\zeta_j^*} \right], \end{aligned} \quad (1')$$

де S_j, μ_j – корені відповідних характеристичних рівнянь [1, 4]. Функції U, V, U^*, V^* виражаються через комплексні потенціали $\varphi_j(z_j)$, $\varphi_j^*(z_j^*)$, за формулами (3), (4) з [3].

Функції $\varphi_{*j}(\zeta_j) = \varphi_j[\omega_j(\zeta_j)]$, $\varphi_{*j}^*(\zeta_j^*) = \varphi_j^*[\omega_j^*(\zeta_j^*)]$, $F_1(\zeta) = F[\omega(\zeta)]$, голоморфні зовні одиничного кола γ_1 з полюсом на нескінченності, допускають розклади

$$\varphi_{*1}(\zeta_1) = R_1 A_0^* \zeta_1 + \sum_{k=0}^{\infty} A_k \zeta_1^{-k}; \quad \varphi_{*2}(\zeta_2) = R_2 (B_0^* - iC_0^*) \zeta_2 + \sum_{k=0}^{\infty} B_k \zeta_2^{-k};$$

$$\varphi_{*1}^*(\xi_1) = R_1^* A_0^* \xi_1^* + \sum_{k=0}^{\infty} a_k \xi_1^{*-k}; \quad \varphi_{*2}^*(\xi_2) = R_2^* B_0^* \xi_2^* + \sum_{k=0}^{\infty} b_k \xi_2^{*-k}; \quad (3)$$

$$E_i(\xi_i) = \sum_{n=0}^{\infty} E_n \xi_i^{-n}; \quad R_j = \frac{1}{2} r_j (1 - i s_j); \quad R_j^* = \frac{1}{2} r_j (1 - i u_j).$$

Стані A_o^*, B_o^*, C_o^* ; a_o^*, b_o^* виражаються через компоненти напруження, згинальні і крутні моменти в пластинці на нескінченності за відомими формулами [1,4].

На підставі формул (3), (4) з [3] і розкладів (3) функції U, V, U^*, V^* набирають вигляду

$$U = D_1 \sigma + D_2 \sigma^{-1} + \sum_{k=0}^{\infty} [t_1 A_k + t_2 B_k] \sigma^{-k} + \sum_{k=0}^{\infty} [t_1^* \bar{A}_k + t_2^* \bar{B}_k] \sigma^k;$$

$$V = D_3 \sigma + D_4 \sigma^{-1} + \sum_{k=0}^{\infty} [n_1 A_k + n_2 B_k] \sigma^{-k} + \sum_{k=0}^{\infty} [n_1^* \bar{A}_k + n_2^* \bar{B}_k] \sigma^k; \quad (4)$$

$$U^* = K_3 \sigma + K_4 \sigma^{-1} + \sum_{k=0}^{\infty} [d_1 a_k + d_2 b_k] \sigma^{-k} + \sum_{k=0}^{\infty} [d_1^* \bar{a}_k + d_2^* \bar{b}_k] \sigma^k,$$

$$V^* = K_1 \sigma + K_2 \sigma^{-1} + \sum_{k=0}^{\infty} [l_1 a_k + l_2 b_k] \sigma^{-k} + \sum_{k=0}^{\infty} [l_1^* \bar{a}_k + l_2^* \bar{b}_k] \sigma^k.$$

Тут позначено:

$$D_1 = R_1 A_0^* t_1 + R_2 (B_0^* + i C_0^*) t_2; \quad D_2 = \bar{R}_1 A_0^* t_1^* + \bar{R}_2 (B_0^* - i C_0^*) t_2^*;$$

$$D_3 = R_1 A_0^* n_1 + R_2 (B_0^* + i C_0^*) n_2; \quad D_4 = \bar{R}_1 A_0^* n_1^* + \bar{R}_2 (B_0^* - i C_0^*) n_2^*;$$

$$K_1 = R_1^* a_0^* l_1 + R_2^* b_0^* l_2; \quad K_2 = \bar{R}_1^* \bar{a}_0^* l_1^* + \bar{R}_2^* \bar{b}_0^* l_2^*;$$

$$K_3 = R_1^* a_0^* d_1 + R_2^* b_0^* d_2; \quad K_4 = \bar{R}_1^* \bar{a}_0^* d_1^* + \bar{R}_2^* \bar{b}_0^* d_2^*; \quad (5)$$

$$t_j = 1 + i s_j; \quad t_j^* = 1 + i \bar{s}_j; \quad n_j = p_j + i q_j; \quad n_j^* = \bar{p}_j + i \bar{q}_j;$$

$$a_j^* = \frac{p_j^*}{r_j}; \quad b_j^* = \bar{q}_j^* + i \frac{\bar{p}_j^*}{\mu_j}; \quad d_j = t + i u_j; \quad d_j^* = t + i \bar{u}_j$$

Компоненти деформації стержня $\epsilon_0, \theta_\delta, \theta_n, \theta_\tau$ подано на y , у формі комбінованих рядів Фур'є

$$\begin{aligned} \epsilon_0 &= \alpha_0 + 2Re \sum_{k=1}^{\infty} \alpha_k e^{ik}, & \theta_\delta &= \beta_0 + 2Re \sum_{k=1}^{\infty} \beta_k e^{ik}; \\ \theta_n &= \gamma_0 + 2Re \sum_{k=1}^{\infty} \gamma_k e^{ik}; & \theta_\tau &= \delta_0 + 2Re \sum_{k=1}^{\infty} \delta_k e^{ik}. \end{aligned} \quad (6)$$

У випадку ортотропної пластинки при симетричному навантаженні відносно головних напрямків пружності x та y розклади (6) записуються

$$\begin{aligned} \epsilon_0 &= \alpha_0 + \sum_{k=2,4,\dots}^{\infty} \alpha_k (G^k + G^{-k}), & \theta_\delta &= i \sum_{k=2,4,\dots}^{\infty} \beta_k^* (G^k - G^{-k}), \\ \theta_\tau &= \delta_0 + \sum_{k=2,4,\dots}^{\infty} \delta_k (G^k + G^{-k}), & \theta_n &= i \sum_{k=2,4,\dots}^{\infty} \gamma_k^* (G^k - G^{-k}), \end{aligned} \quad (7)$$

де $\alpha_k, \beta_k^*, \delta_k, \gamma_k^*$ – величини дійсні.

Внесемо розклади (3), (4), (6), (7) у граничну умову задачі (2) і виконаемо інтегрування вздовж замкнутого контура γ_1 . Приймаючи при цьому всі E_j , крім E_n , рівними нулеві, одержуємо нескінченну систему лінійних алгебраїчних рівнянь відносно коефіцієнтів розкладу шуканих функцій. Цю систему запишемо для ортотропної пластинки при симетричному навантаженні на нескінченності відносно головних напрямків пружності x та y ($\alpha_k = \bar{\beta}_k$; A_k, B_k – величини дійсні):

$$t_1 A_n + t_2 B_n = \frac{q}{2hr_1} [(n+1)(r_1 - r_0) + r_1] \alpha_{n+1} + \frac{g(n+1)^2 D_0}{2hr_1} \beta_{n+1}^* - D_2 \delta_{tn};$$

$$t_1^* A_n + t_2^* B_n = \frac{q}{2hr_1} [(1-n)(r_1 - r_0) + r_1] \alpha_{n-1} - \frac{g(1-n)^2 D_0}{2hr_1} \beta_{n-1}^* - D_4 \delta_{tn};$$

$$\begin{aligned} n_1^* A_n + n_2^* B_n &= \frac{r_0}{n} \alpha_{n-1} - \frac{1}{n} [(r_1 - r_0)(n-1) + r_1] \beta_{n-1}^* + \frac{T_0^*(n-1)}{n} \gamma_{n-1}^* + \\ &+ \frac{T_0^*}{n} \delta_{n-1} - D_3 \delta_{tn}; \end{aligned}$$

$$\begin{aligned} n_1 A_n + n_2 B_n &= -\frac{r_0}{n} \alpha_{n+1} + \frac{1}{n} [(r_1 - r_0)(n+1) - r_1] \beta_{n+1}^* - \\ &- \frac{T_0^*(n+1)}{n} \gamma_{n+1}^* - \frac{T_0^*}{n} \delta_{n+1} - D_4 \delta_{tn}; \end{aligned}$$

$$\ell_1 \alpha_n + \ell_2 \beta_n = \xi_0^* g \left[1 + (n+1) \left(1 - \frac{r_0}{r_i} \right) \right] \alpha_{n+1} + \frac{(n+1)^2 \xi_0^* g D_C}{r_i} \beta_{n+1}^* + \\ + \frac{1}{r_0} [C - (n+1)A] \gamma_{n+1}^* - \frac{1}{r_0} [A - (n+1)C] \delta_{n+1} - K_2 \delta_{in}; \quad (8)$$

$$\ell_1^* \bar{\alpha}_n + \ell_2^* \bar{\beta}_n = \xi_0^* g \left[1 + (1-n) \left(1 - \frac{r_0}{r_i} \right) \right] \alpha_{n-1} - \frac{(1-n)^2 \xi_0^* g D_C}{r_i} \beta_{n-1}^* - \\ - \frac{1}{r_0} [A - (1-n)C] \delta_{n-1} - \frac{1}{r_0} [C + (n-1)A] \gamma_{n-1}^* - K_1 \delta_{in};$$

$$d_1 \alpha_n + d_2 \beta_n = - \left[1 + (n+1) \left(1 - \frac{r_0}{r_i} \right) \right] \delta_{n+1} + \frac{r_0}{r_i} \gamma_{n+1}^* - K_4 \delta_{in};$$

$$d_1^* \bar{\alpha}_n + d_2^* \bar{\beta}_n = - \left[1 + (1-n) \left(1 - \frac{r_0}{r_i} \right) \right] \delta_{n-1} - \frac{r_0}{r_i} \gamma_{n-1}^* - K_3 \delta_{in}.$$

Тут δ_{kn} – символ Кронекера.

Для прикладу за ортотропну пластинку візьмемо склостеколіт КАСТ-В [5] і кільце прямокутного перерізу $2h^* \times b$ з додатковими з такими пружинами і геометричними характеристиками:

$$E_1 = 97 \cdot 10^5 \text{ кг/см}^2, \quad E_2 = 136 \cdot 10^5 \text{ кг/см}^2, \quad G = 0,33 \cdot 10^5 \text{ кг/см}^2,$$

$$\nu_2 = 0,12, \quad E^* = 7,2 \cdot 10^5 \text{ кг/см}^2, \quad \frac{r_0}{r_i} = 0,1, \quad \frac{2h^*}{2h} = 3; \\ \frac{2h^*}{b} = 6, \quad \frac{\xi_0^*}{2h} = 1.$$

Пластинка згинається навколо головних напрямків пружності x та y ($E_x = E_1$) моментами:

$$1. M_x^\infty = M, \quad M_y^\infty = H_{xy}^\infty = 0, \quad \tilde{\sigma}_x^\infty = \tilde{\sigma}_y^\infty = \tilde{\tau}_{xy}^\infty = 0;$$

$$2. M_y^\infty = M, \quad M_x^\infty = H_{xy}^\infty = 0, \quad \tilde{\sigma}_x^\infty = \tilde{\sigma}_y^\infty = \tilde{\tau}_{xy}^\infty = 0.$$

На рис. 1, 2 зображені графіки розподілу кільцевих напружень $G_e \frac{h}{M}$ у пластинці вздовж лінії спаю з кільцем відповідно у першому і другому випадках навантаження. Криві 1, 2, 3 на всіх рисунках отосується відповідно точок верхньої, середньої та нижньої площини пластиинки. Крива 4 відповідає симетричному підкріпленню пластиинки стержнем товщі h короткою ($\xi_0 = 0$) на верхній і нижній площині.

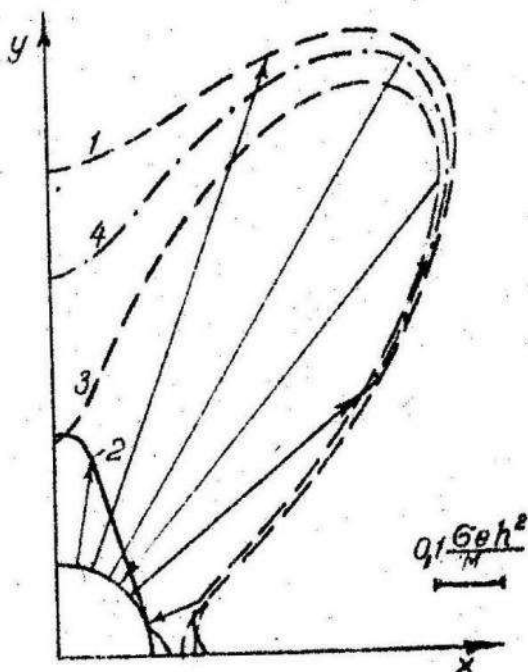


Рис. 1

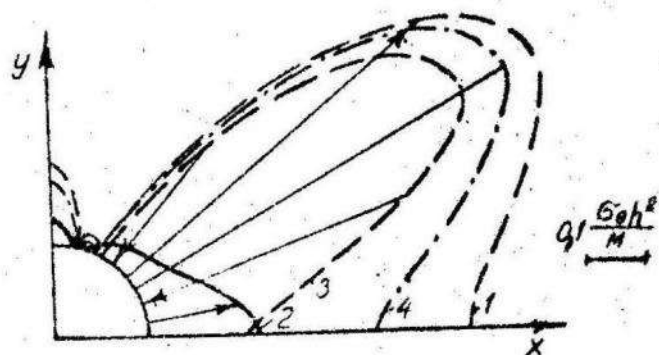


Рис. 2

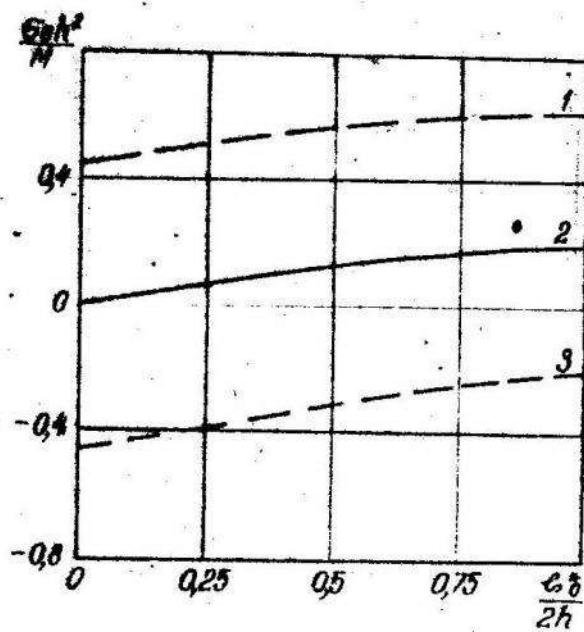


Рис. 3

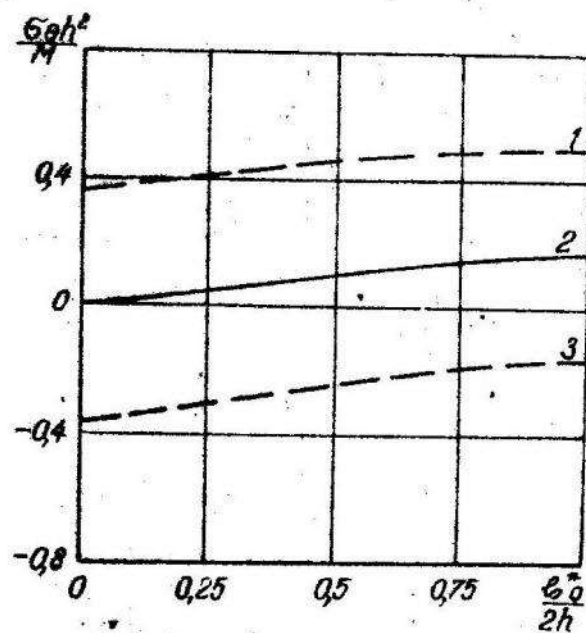


Рис. 4

На рис. 3, 4 дана залежність тих же напружень $\sigma_\theta \cdot \frac{h^2}{M}$ у пластині від эксцентризитету підкріплення $\frac{e_\theta^*}{2h}$ при $\theta = 90^\circ$ у першому випадку навантаження (рис. 3) і при $\theta = 0^\circ$ - у другому випадку навантаження (рис. 4).

Література

1. Лехницкий С.Г. Анизотропные пластинки. М., ГГТи, 1957.
2. Мартинович Т.Л. Теория и расчет пластинок с подкрепленным краем. Автореф. докт. дис., Львов, 1970.
3. Мартинович Т.Л., Божидарник В.В. Крайові умови в інтегральній формі задачі про напруження стакан в анізотропній пластинці з несиметрично підкріпленим краєм. Вісник Львівського ун-ту, серія мех.-мат., вип. 7. Вид-во Львівського ун-ту, 1972.
4. Савин Г.Н. Концентрация напряжений около отверстий. М., ГГТи, 1951.
5. Стеклотекстолиты и другие конструкционные пластинки. М., Оборонгиз, 1960.

. УДК 547.3

В.Г.ГАБРУСЕВ

ОДНА ОСЕСИМЕТРИЧНА ЗАДАЧА ТЕРМОПРУЖНОСТІ ДЛЯ ТРАНСВЕРСАЛЬНО-ІЗОТРОПНОГО ШАРУ

1. Розглянемо безмежний плоскопаралельний трансверсально ізотропний шар скінченої товщини $2h$. Вважаємо, що площини ізотропії паралельніграничним площинам, які відхиляються від зовнішнього навантаження.

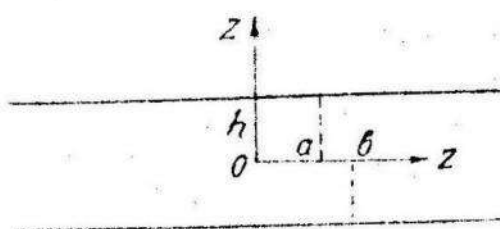


Рис. 1

Виберемо початок системи циліндричних координат на середній площині шару. Вісь Oz направимо перпендикулярно до границь площин вертикально вверх (рис. 1).

Границі умови задачі мають вигляд:

$$\frac{\partial T}{\partial z} = -k_1(T - T_{\infty}^{(1)}), \quad z=h, \quad 0 < z < a,$$

$$\frac{\partial T}{\partial z} = -k_2(T - T_{\infty}^{(2)}), \quad z=h, \quad z > a,$$